

CENNI DI MORFODINAMICA COSTIERA: CAUSE E POSSIBILI INTERVENTI DI MITIGAZIONE

Ordine Geologi Liguria

Ordine Ingegneri Province di Imperia e Savona

Ing. Francesco De Leo

francesco.deleo@unige.it

Albenga, 29/11/2024

MORFODINAMICA COSTIERA: UN PROBLEMA ARTICOLATO

- Quali sono i fattori che determinano la morfodinamica delle spiagge?

→ *morfologia della costa*

→ *forzanti meteo-marine*

- Le diverse scale spazio-temporali coinvolte

→ *fenomeni nel lungo periodo*

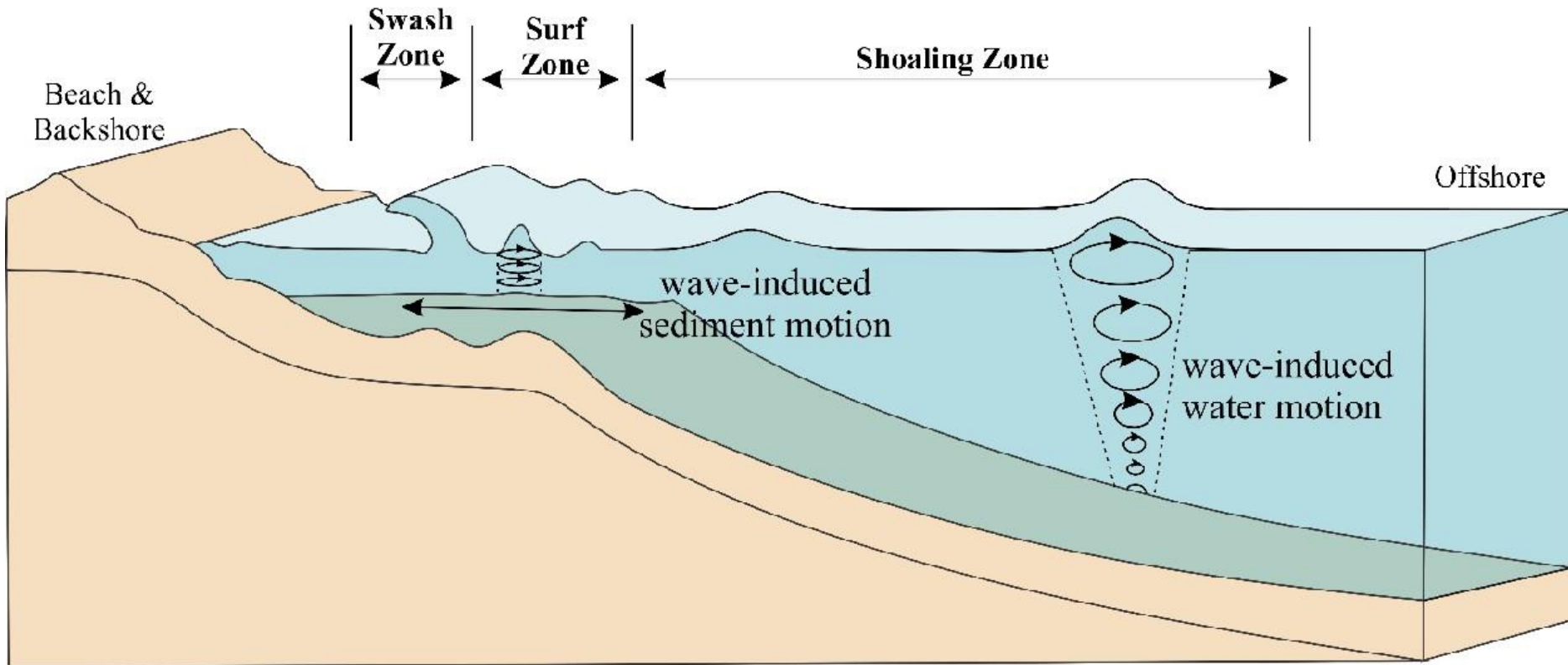
→ *fenomeni puntuali*

- Possibili interventi di mitigazione

→ *«soft engineering»*

→ *«hard engineering»*

I diversi «corpi» di una costa

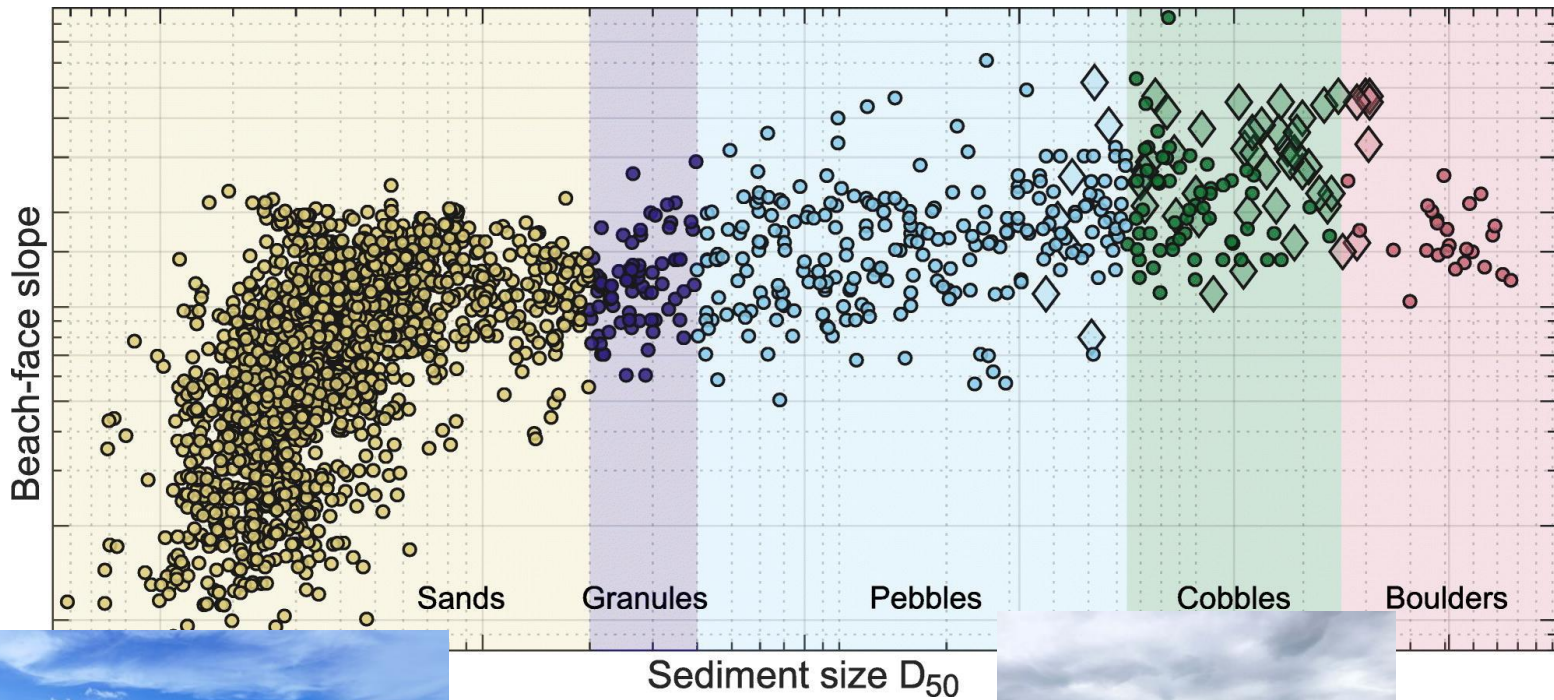


Shanganiali (2007)

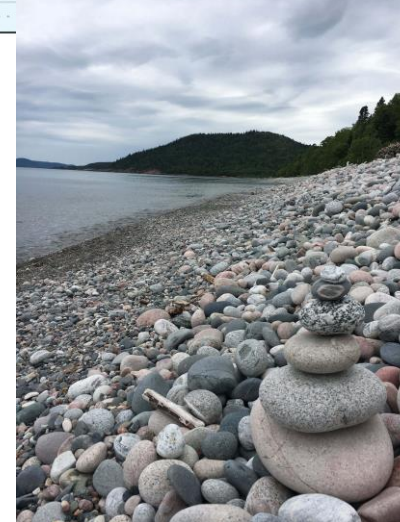
Morfologia della costa

Bujan et al., (2019)

1:4



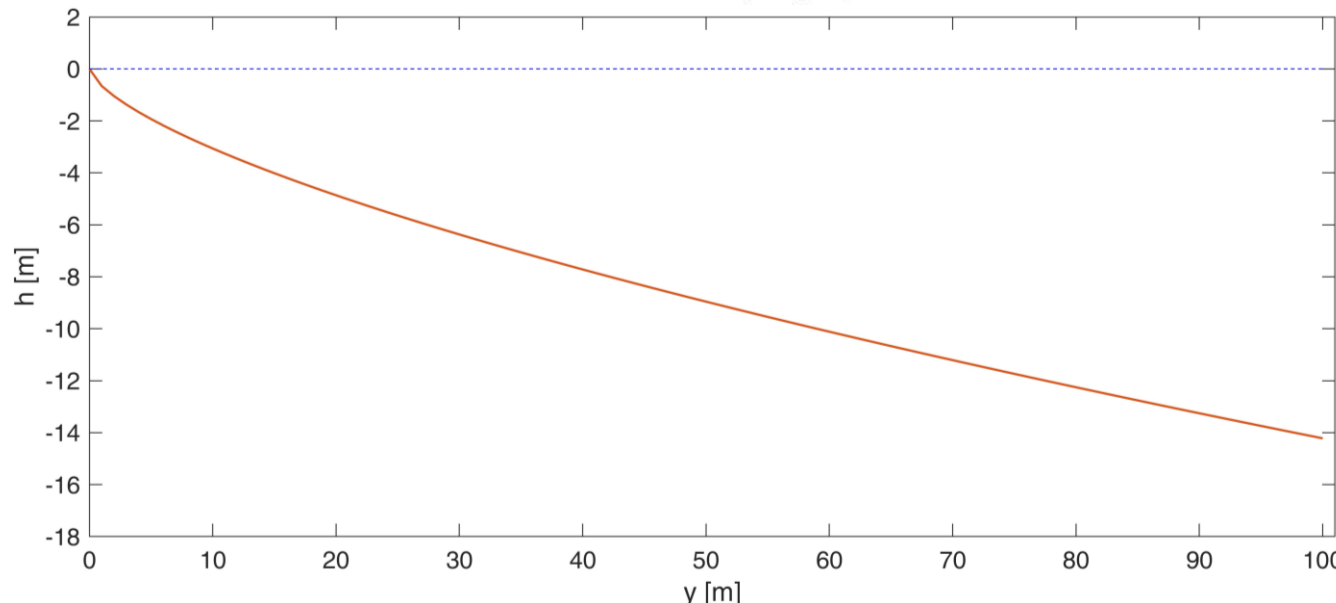
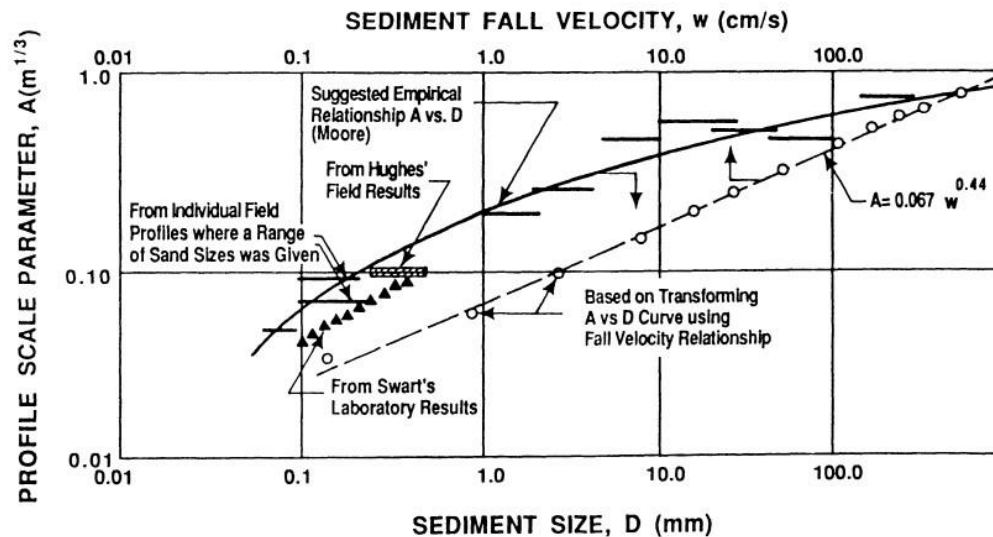
1:100



Morfologia della costa

$$h = Ay^{2/3}$$

Dean (1977)



Morfologia della costa

Tensione critica per diversi tipi di materiale solido

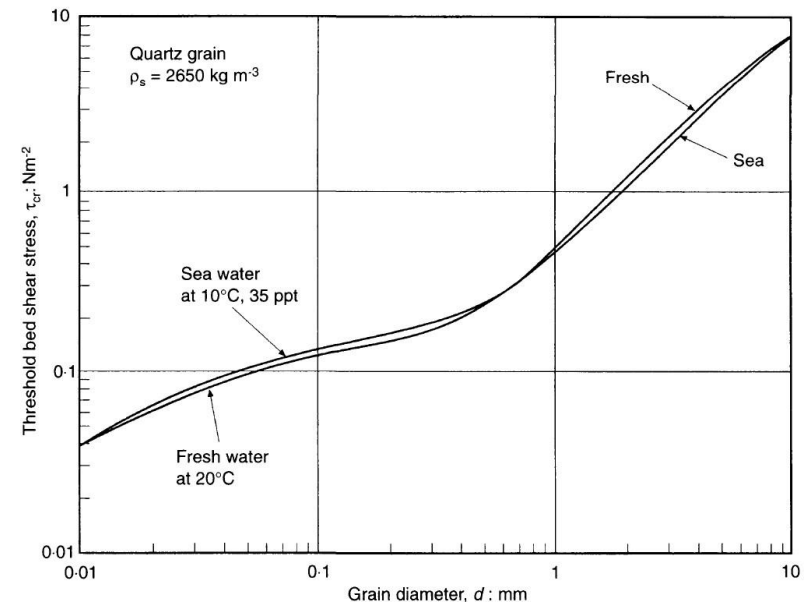
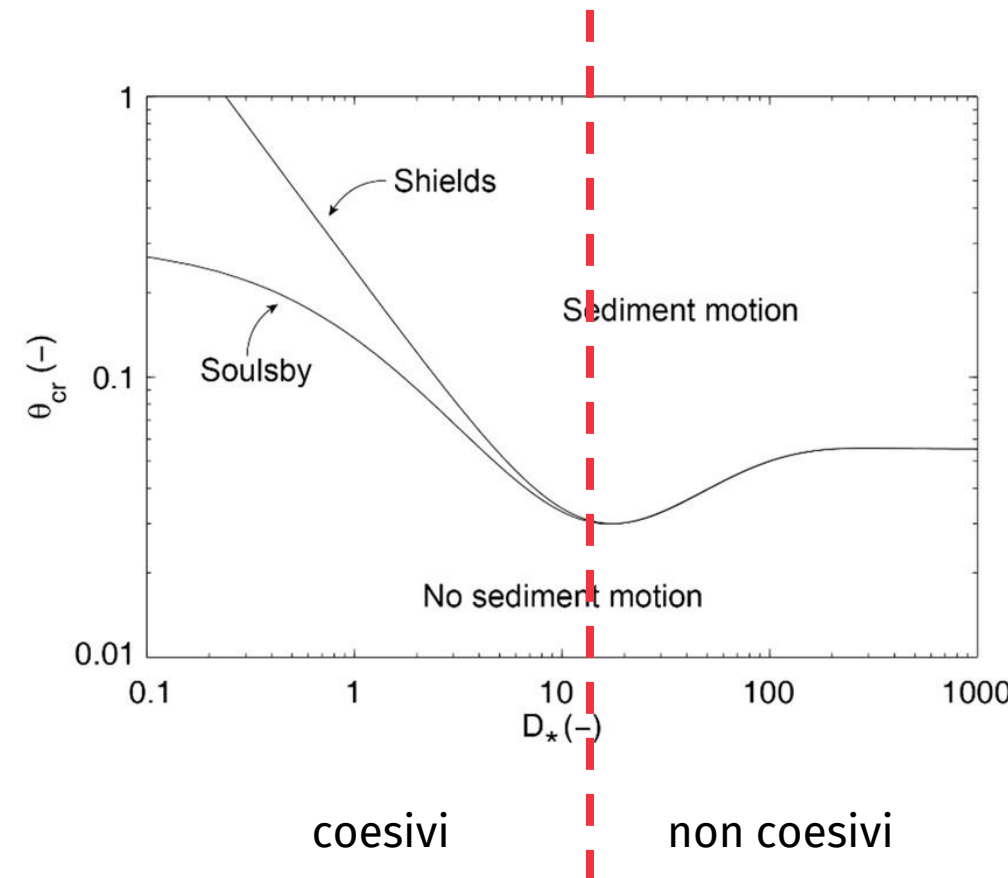


Figure 21. Threshold bed shear-stress for motion of quartz grains of sieve diameter d

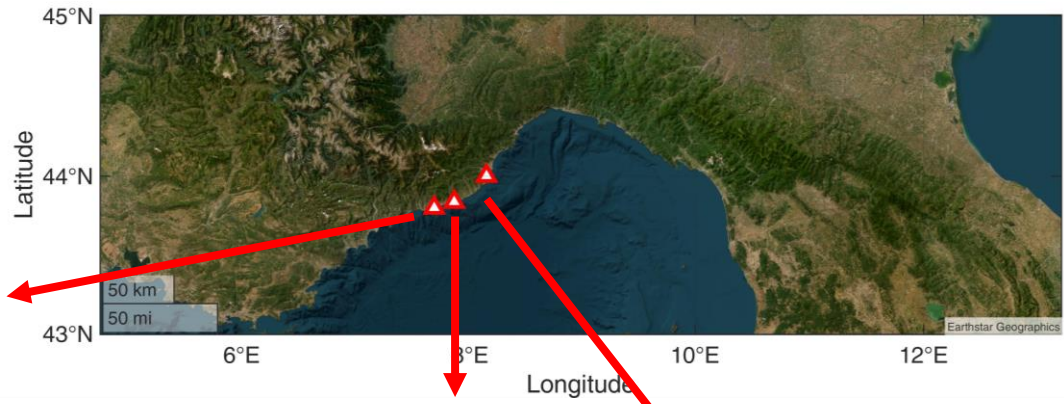
Soulsby (1997)

Morfologia della costa

Le spiagge liguri



Ospedaletti (IM)



Santo Stefano (IM)



Alassio (SV)

per gentile
concessione di
Geoscape


GeoScape coop.

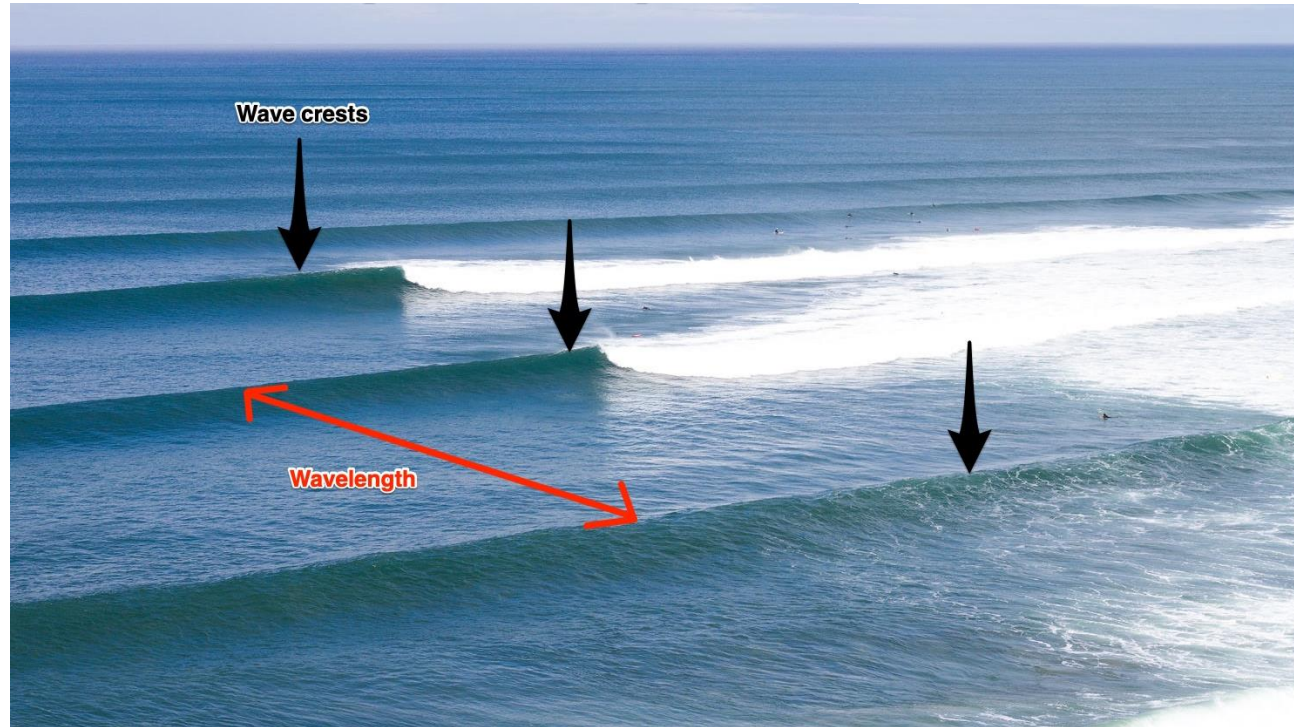
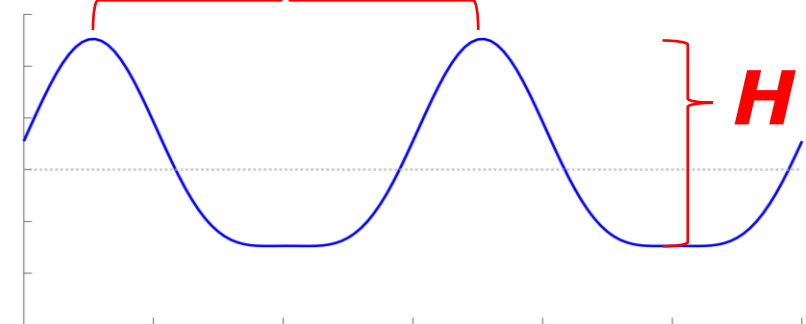
Le forzanti ambientali

onde di mare

I parametri principali

sup. libera

T

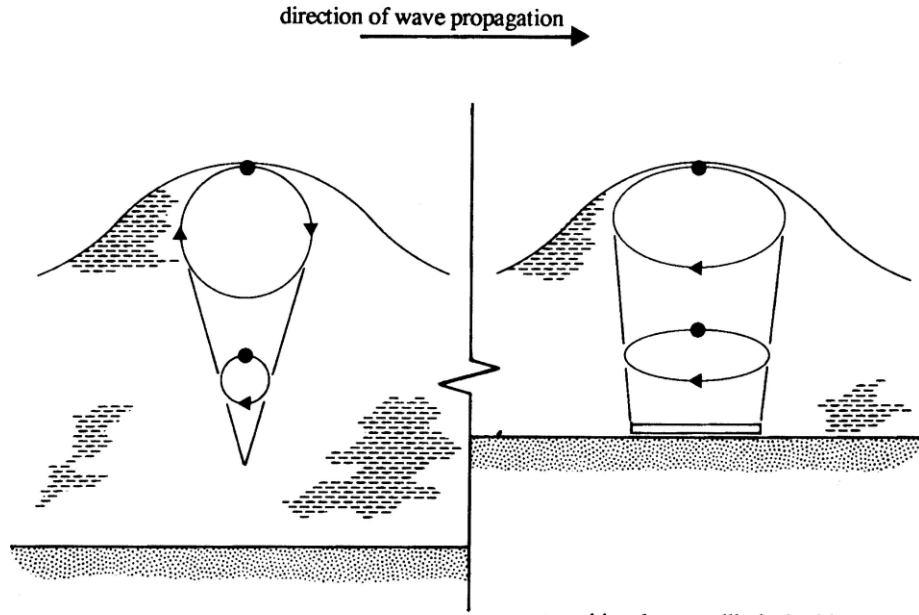


Le forzanti ambientali

onde di mare

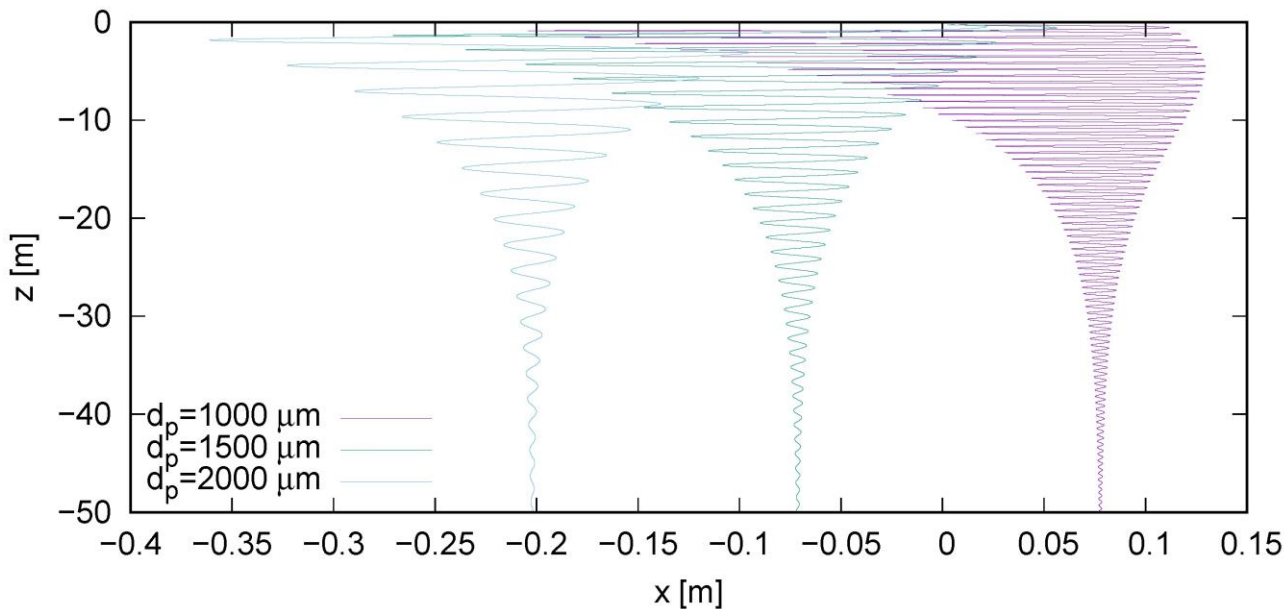
I moti indotti

Sorensen (1993)



transitional water elliptical orbits

RUN 12



Stocchino et al., (2019)

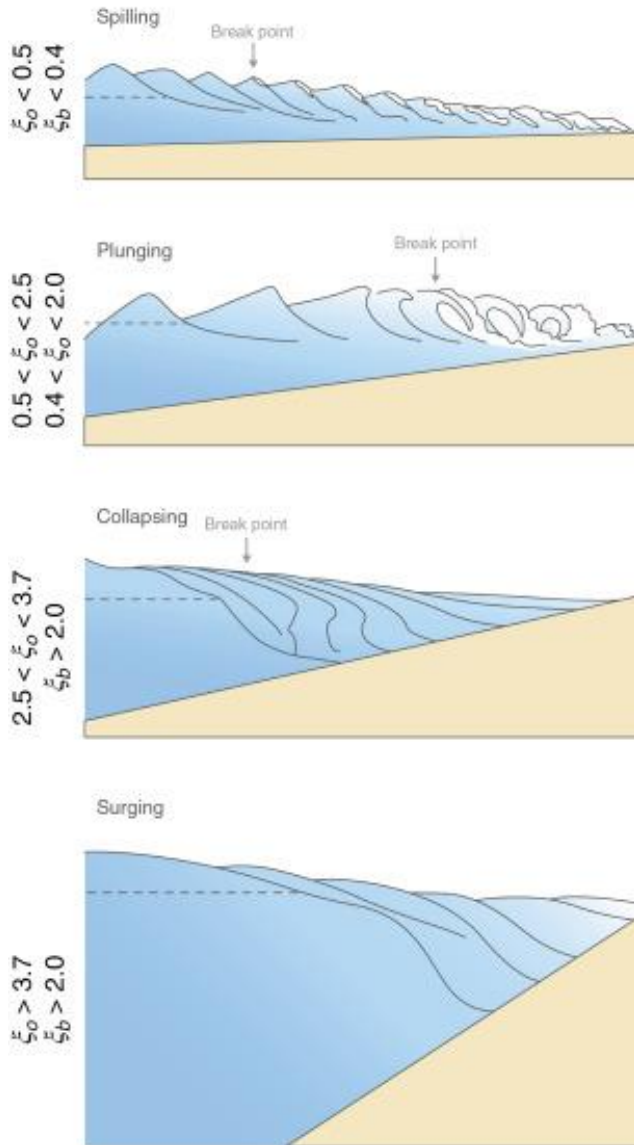
Le forzanti ambientali

Power (2020)

onde di mare



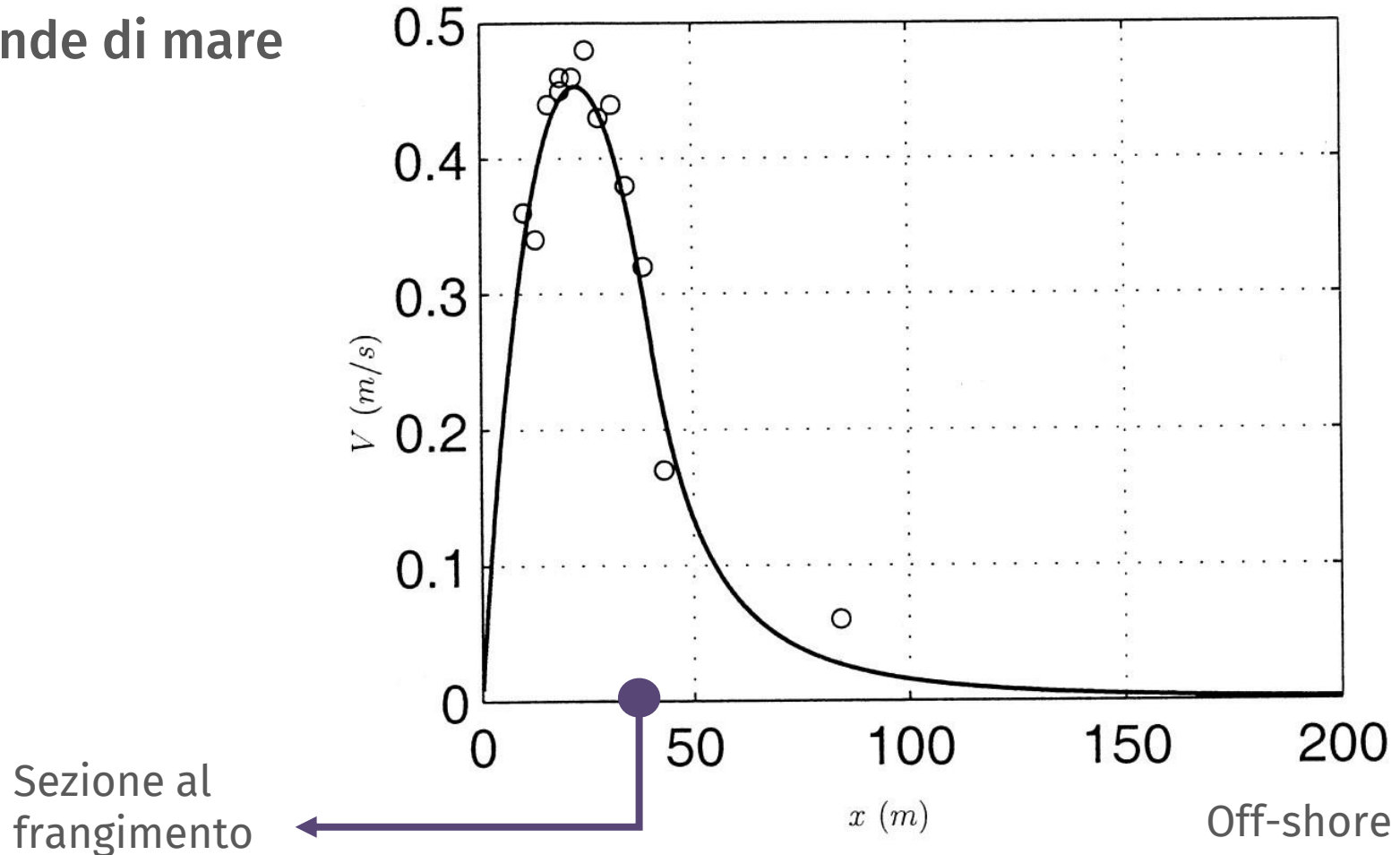
Frangimento



Le forzanti ambientali

Haller & Dalrymple (1999)

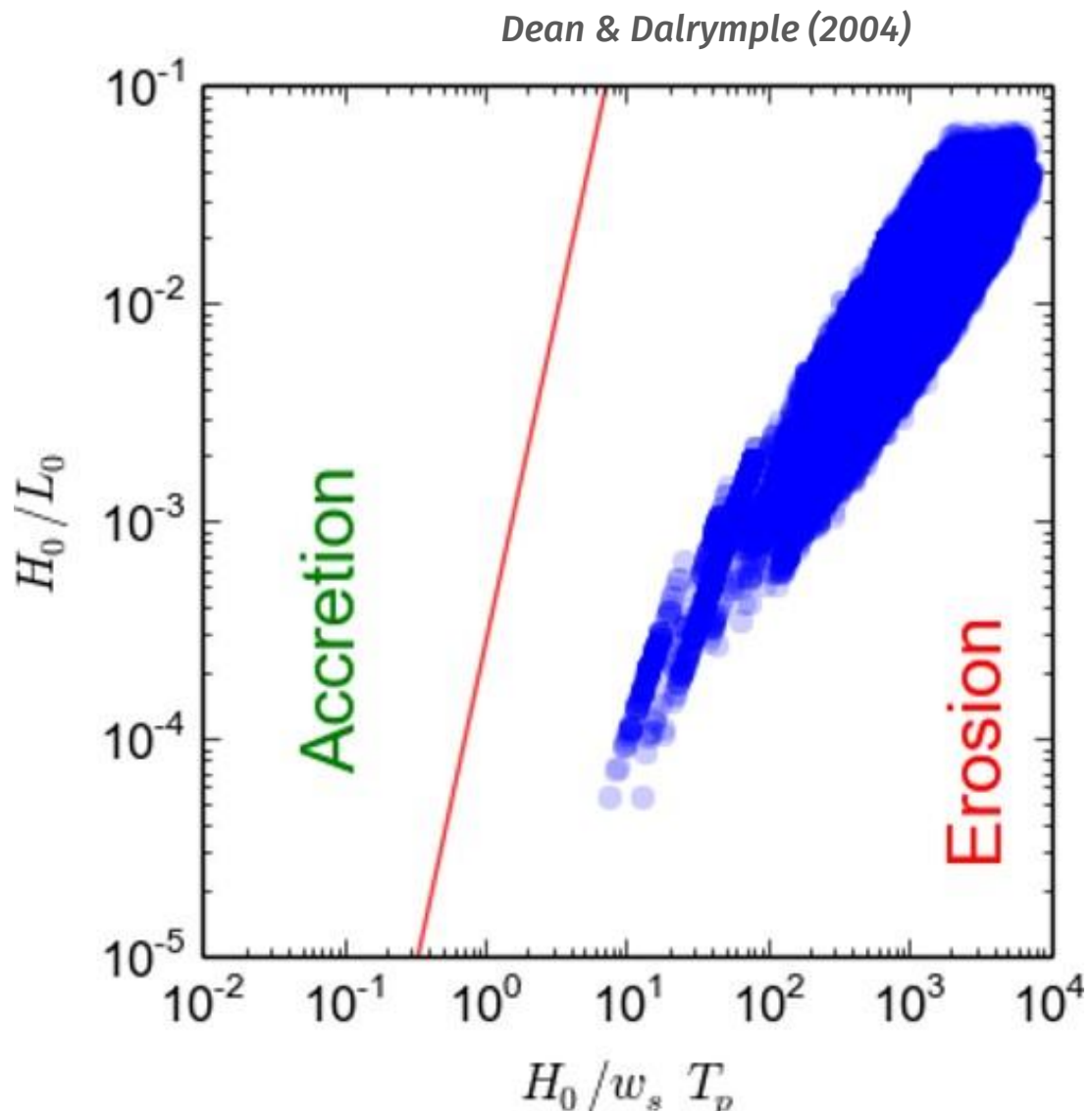
onde di mare



Le forzanti ambientali

onde di mare

- $H_o \rightarrow$ altezza d'onda
- $L_o \rightarrow$ lunghezza d'onda
- $T_p \rightarrow$ periodo d'onda
- $w_s \rightarrow$ velocità di caduta dei sedimenti

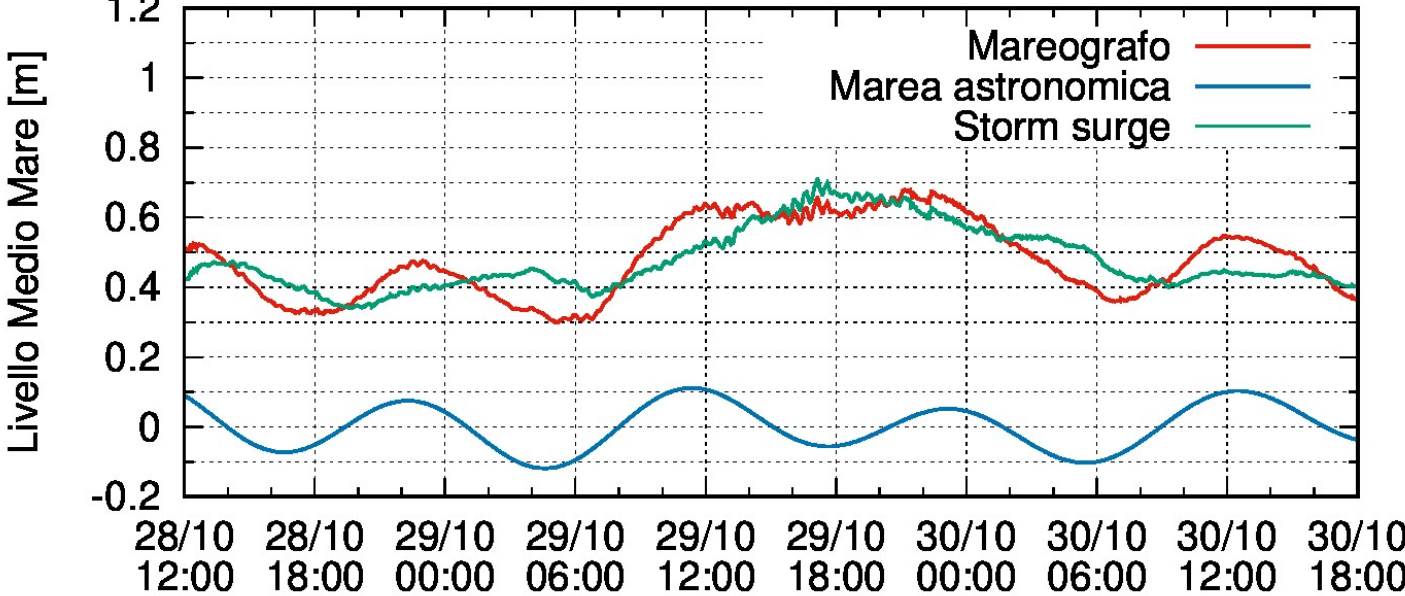


Le forzanti ambientali

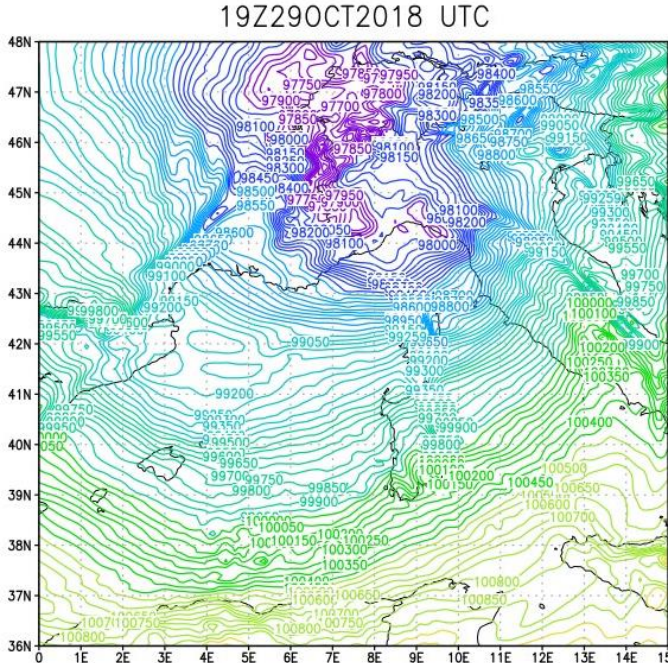
Storm surge

$$\Delta p = \rho g \Delta h$$

“la mareggiata del secolo”



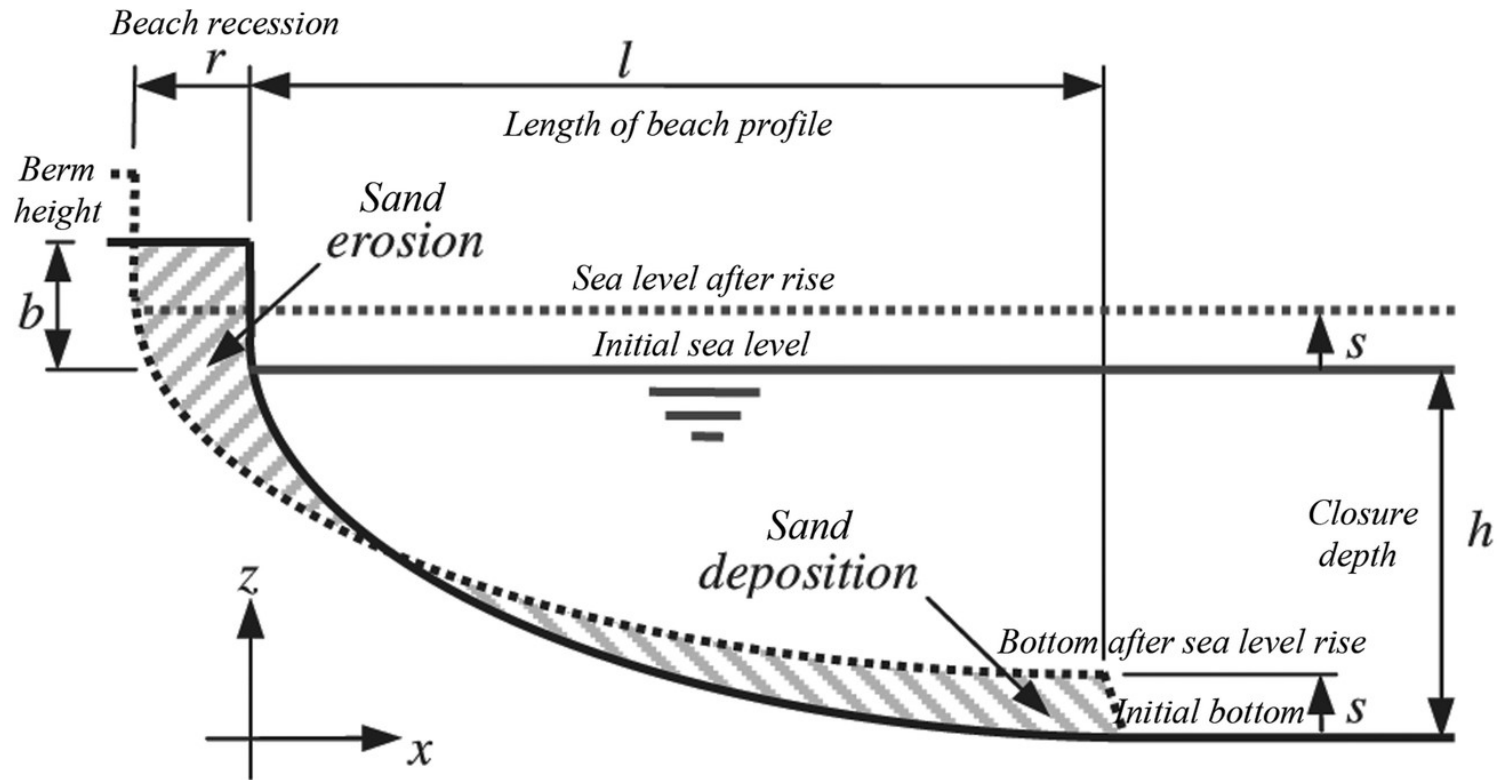
per gentile
concessione di
Giovanni Besio e
Francesco Ferrari



Le forzanti ambientali

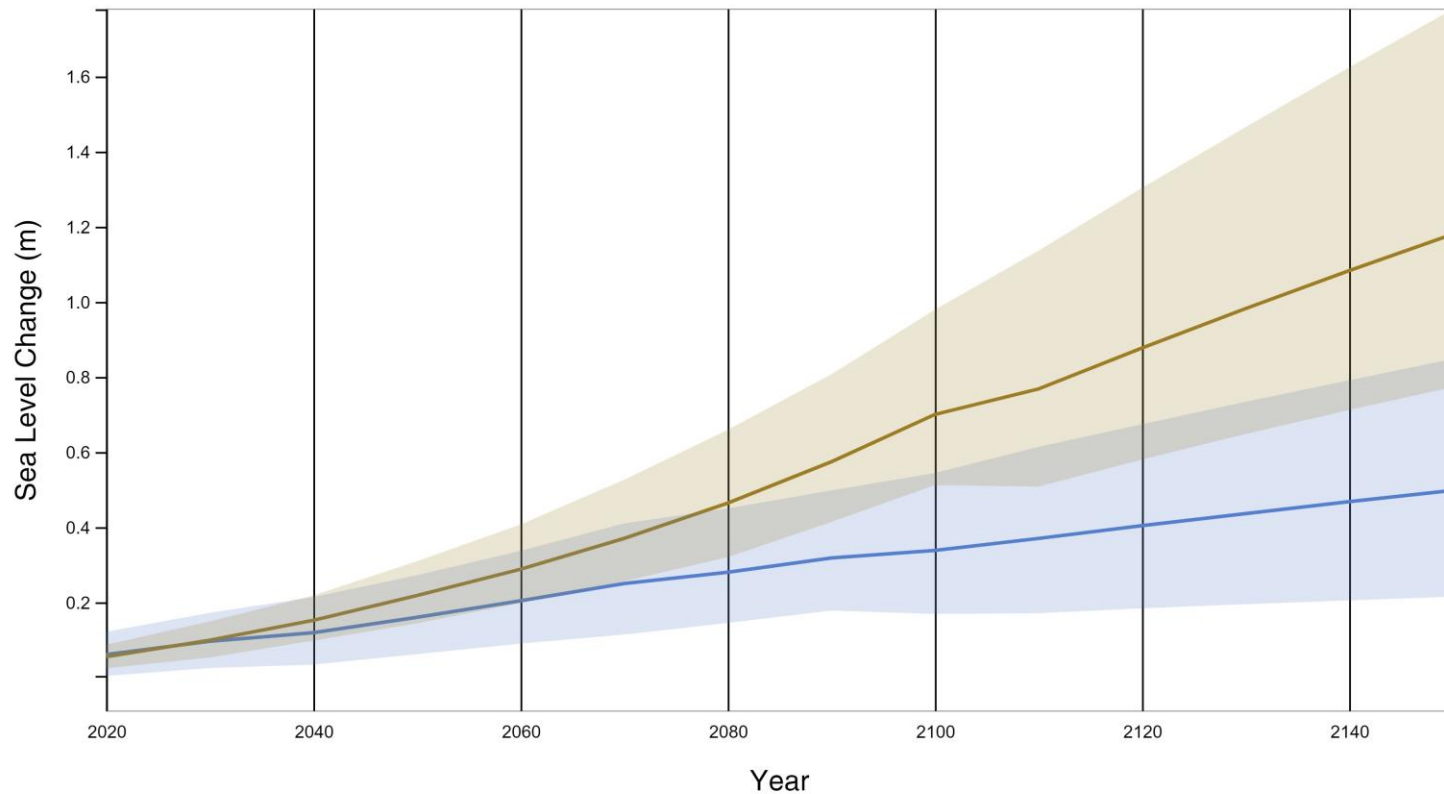
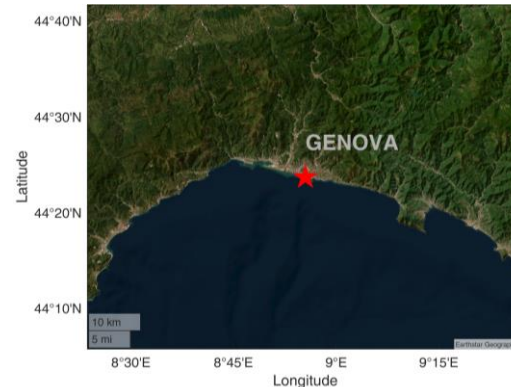
SLR

$$r = \frac{s \times l}{h + b} \quad \text{Brunn (1962)}$$



Le forzanti ambientali

SLR



SSP5-8.5

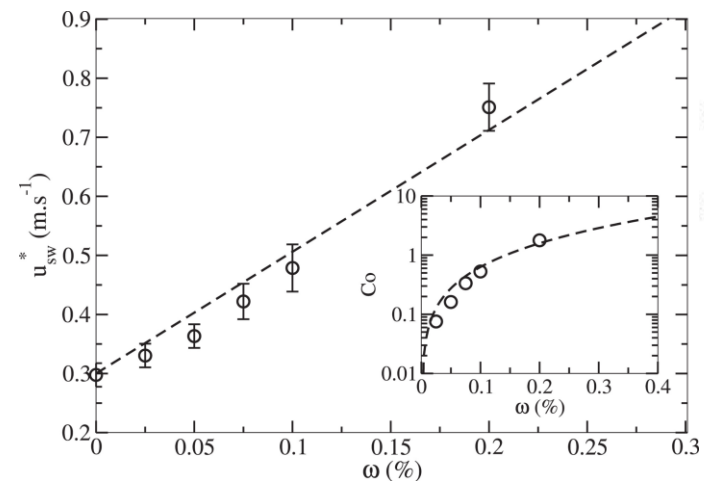
SSP1-1.9

<https://sealevel.nasa.gov/ipcc-ar6-sea-level-projection-tool>

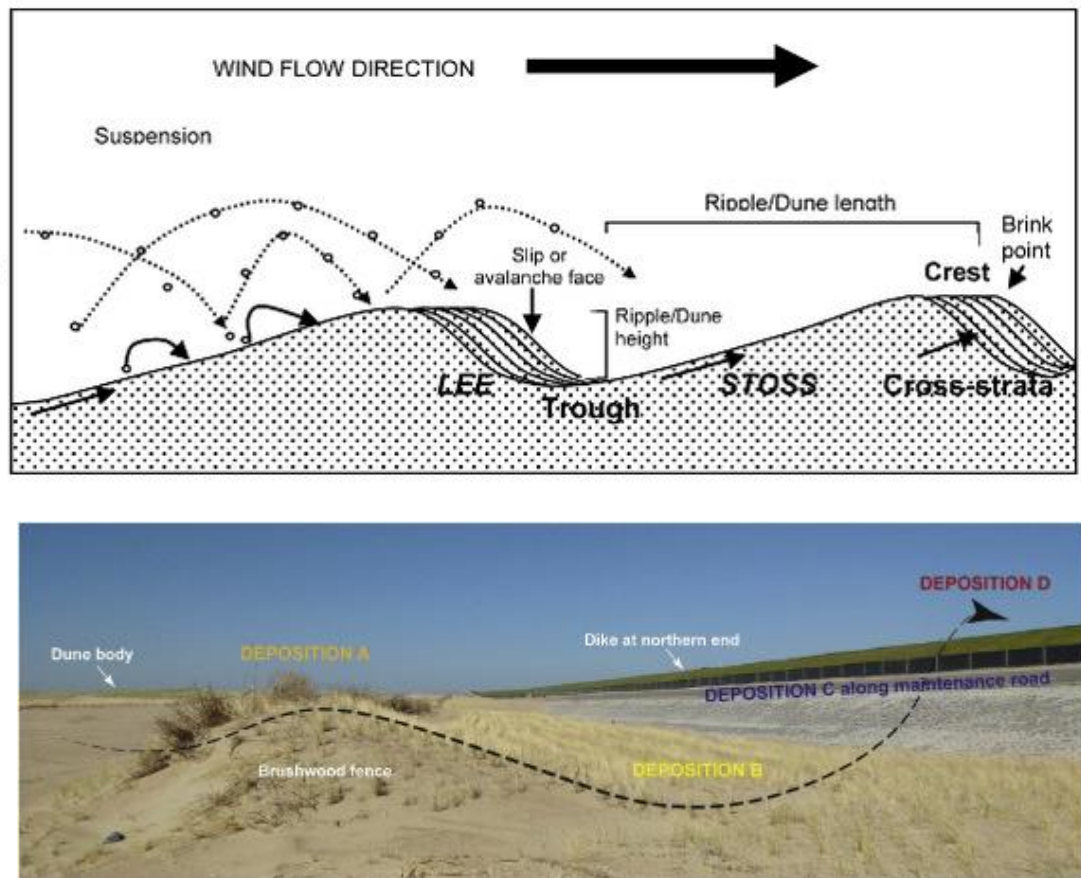
Le forzanti ambientali

Vento

Besnard et al., (2022)



©Nature communication (2012)



Strypsteen et al., (2021)

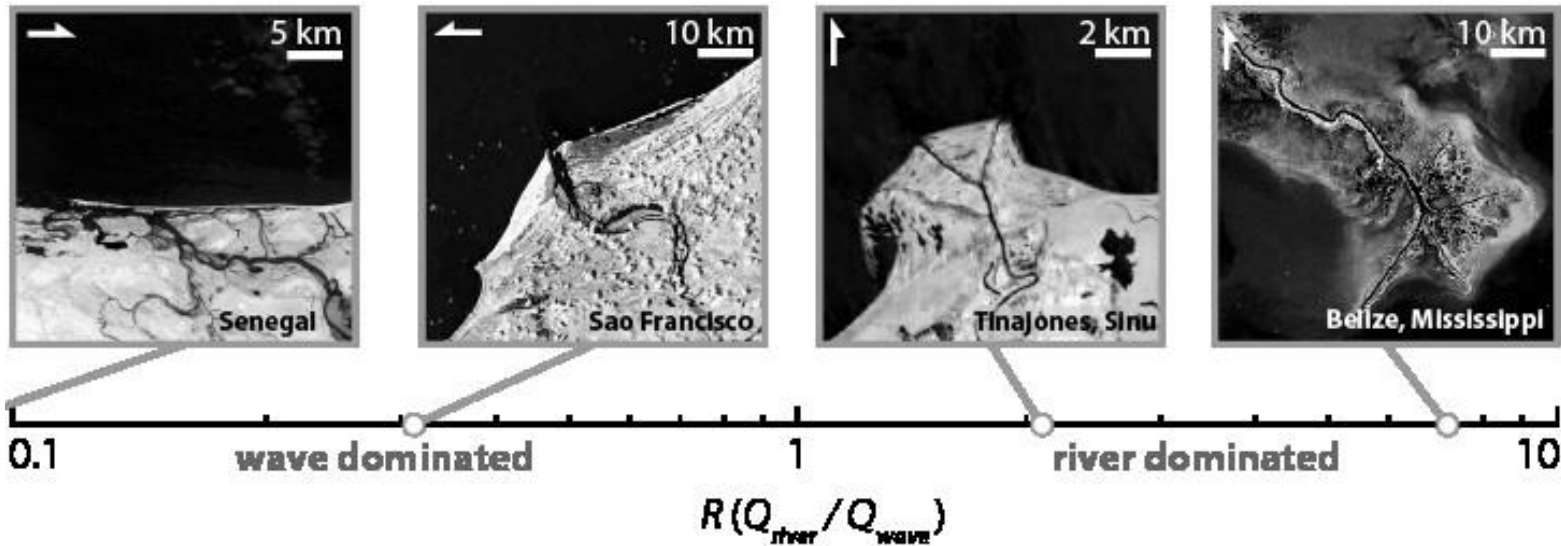
Le forzanti ambientali

Fiumi

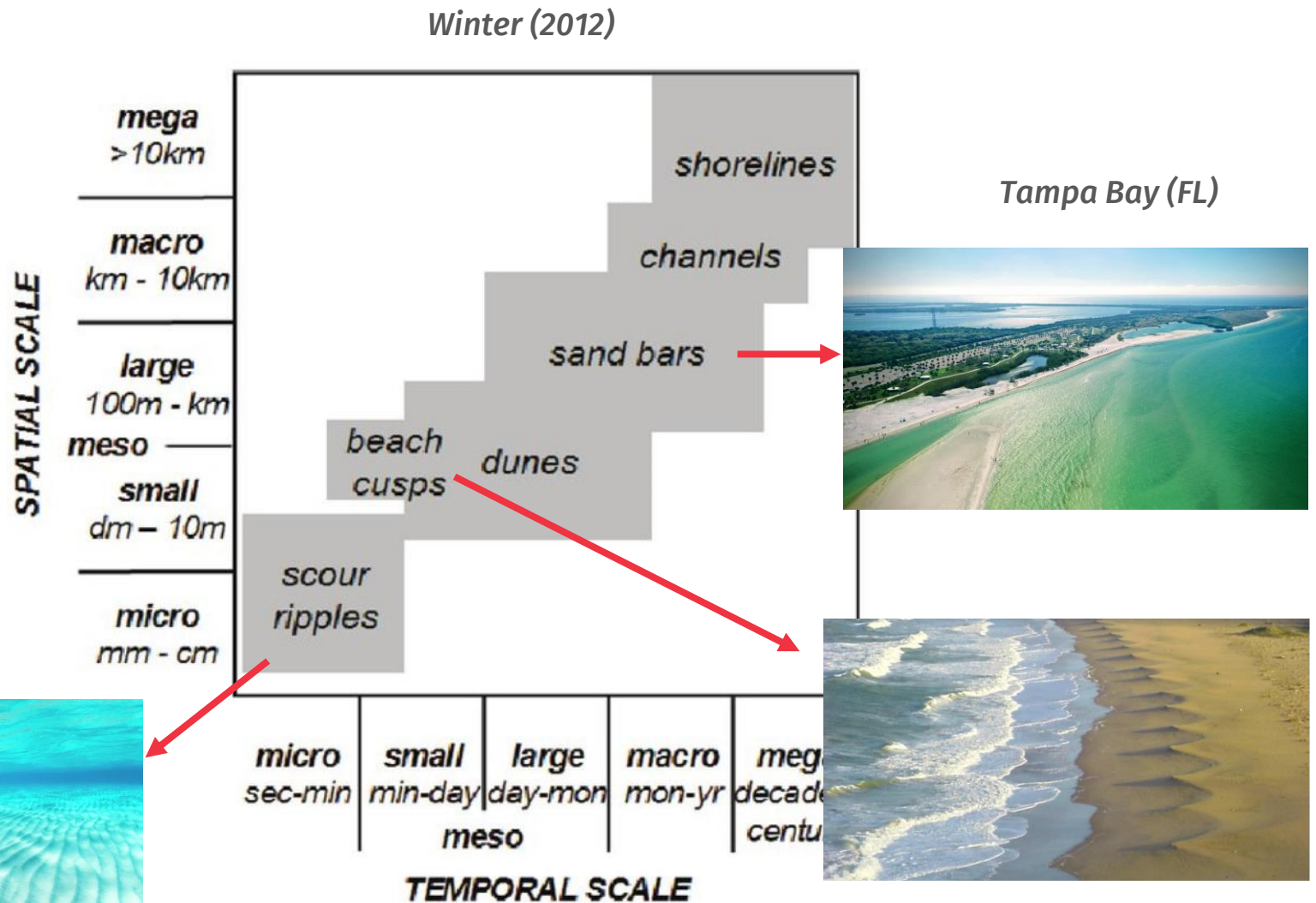
Galloway, (1975)



<https://www.coastalwiki.org>



I fattori decorrono su diverse scale spazio/temporali



©Alex Mustard

scale «macro/mega»

$\approx [10^3; 10^4]$ m / $\approx [10^0; 10^3]$ y



©Marli Miller



<https://www.geocaching.com/geocache/GC20FPC>

scale «macro/mega»

$\approx [10^3; 10^4]$ m / $\approx [10^0; 10^3]$ y



Durdle door (UK)



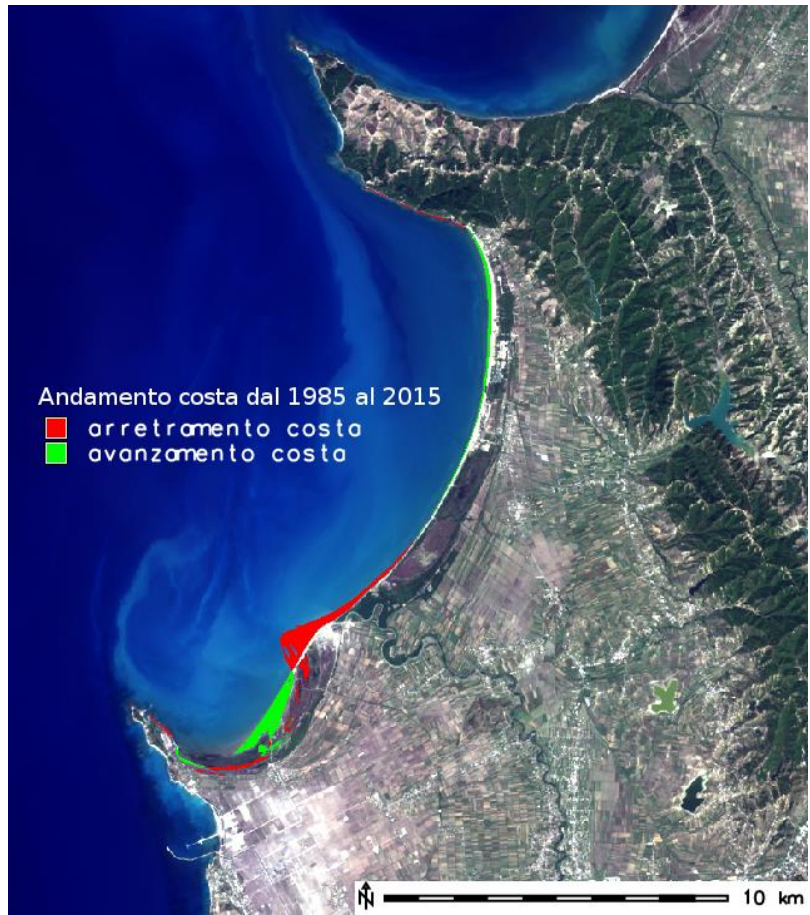
L'arche et l'aiguille d'Etretat (FR)

e-education.psu.edu

scale «large/macro»

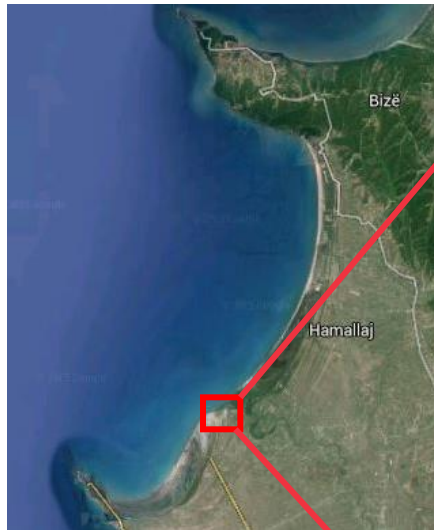
$\approx [10^0; 10^3] \text{m} / \approx [10^0; 10^3] \text{d}$

De Leo et al., (2017)



scale «large/macro»

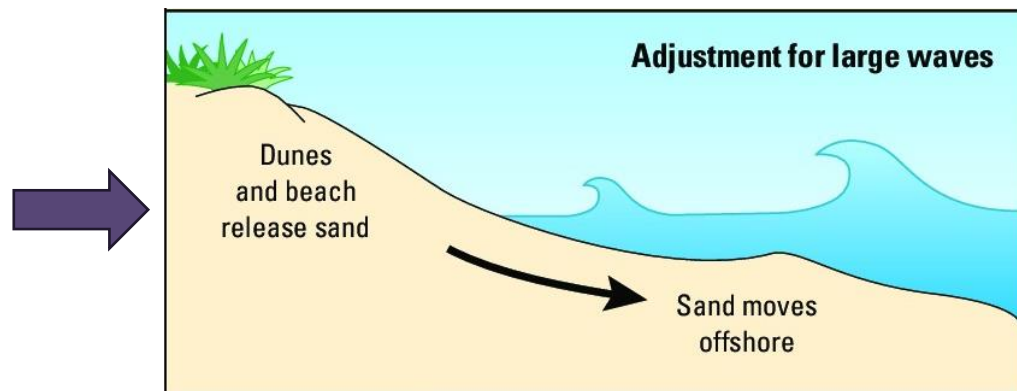
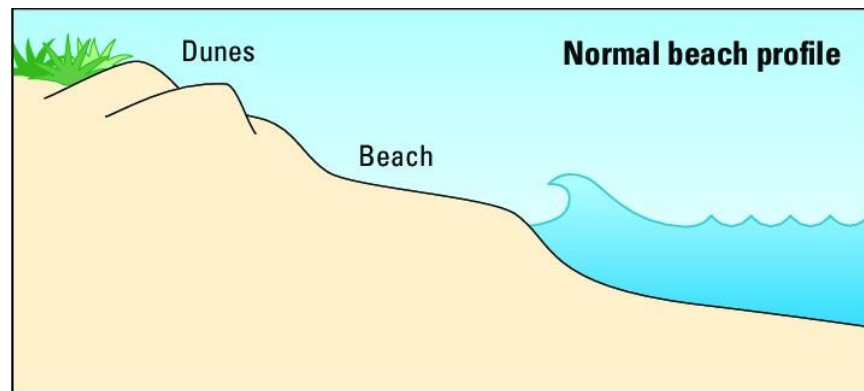
$\approx [10^0; 10^3] \text{m} / \approx [10^0; 10^3] \text{d}$



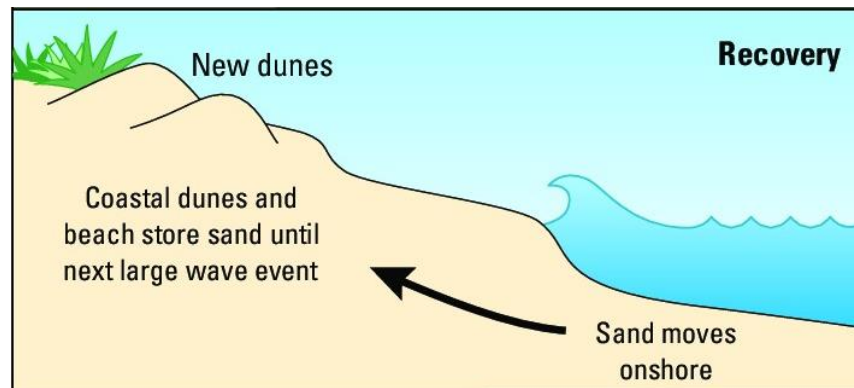
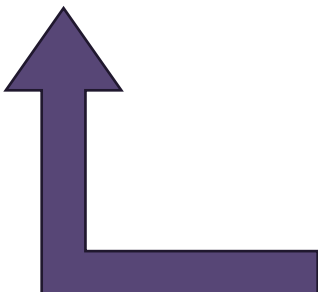
scale «small/large»

$\approx [10^0; 10^3] \text{m} / \approx [10^0; 10^3] \text{d}$

PROFILO INVERNALE



Fletcher et al., (2012)

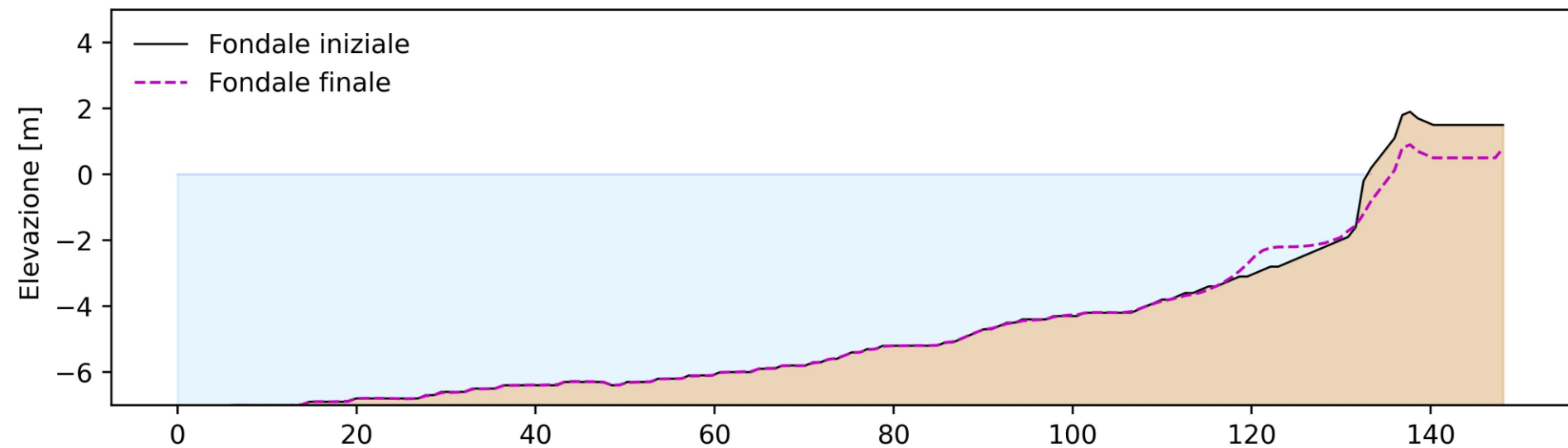


PROFILO ESTIVO

scale «small/large»

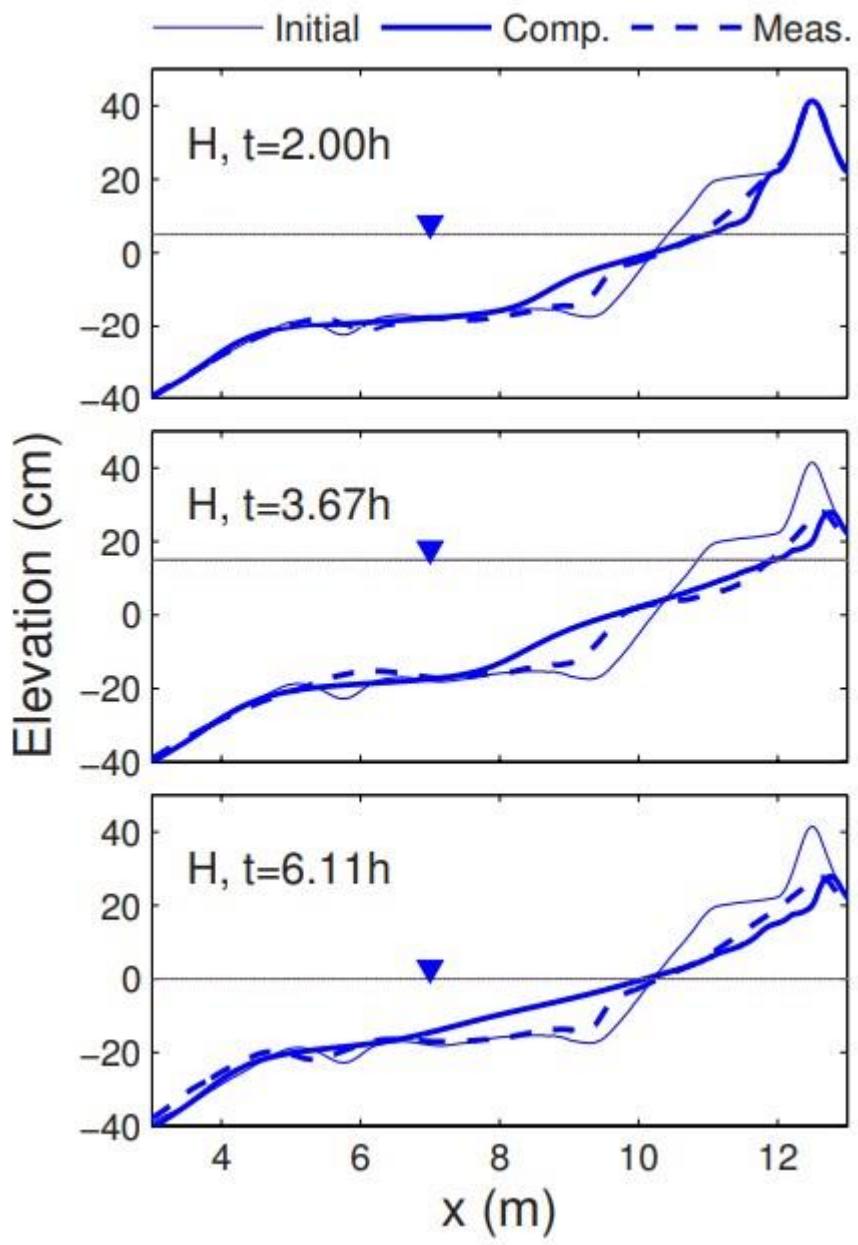
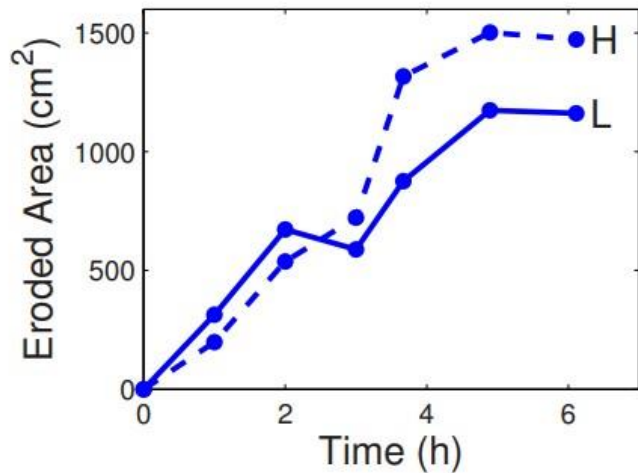
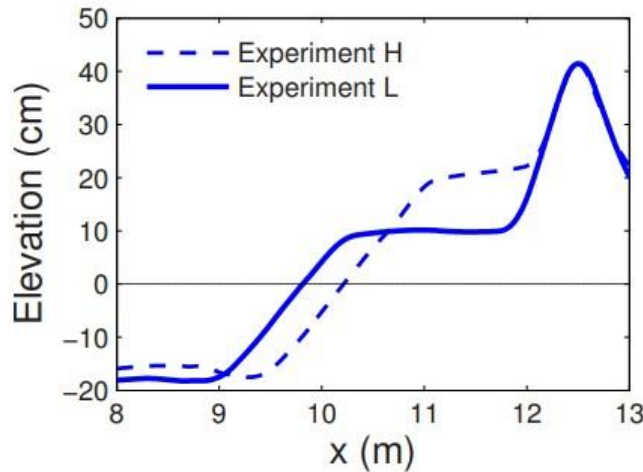
$\approx [10^0; 10^3] \text{m} / \approx [10^0; 10^3] \text{d}$

Erosione di un profilo trasversale
a Sturla (GE)



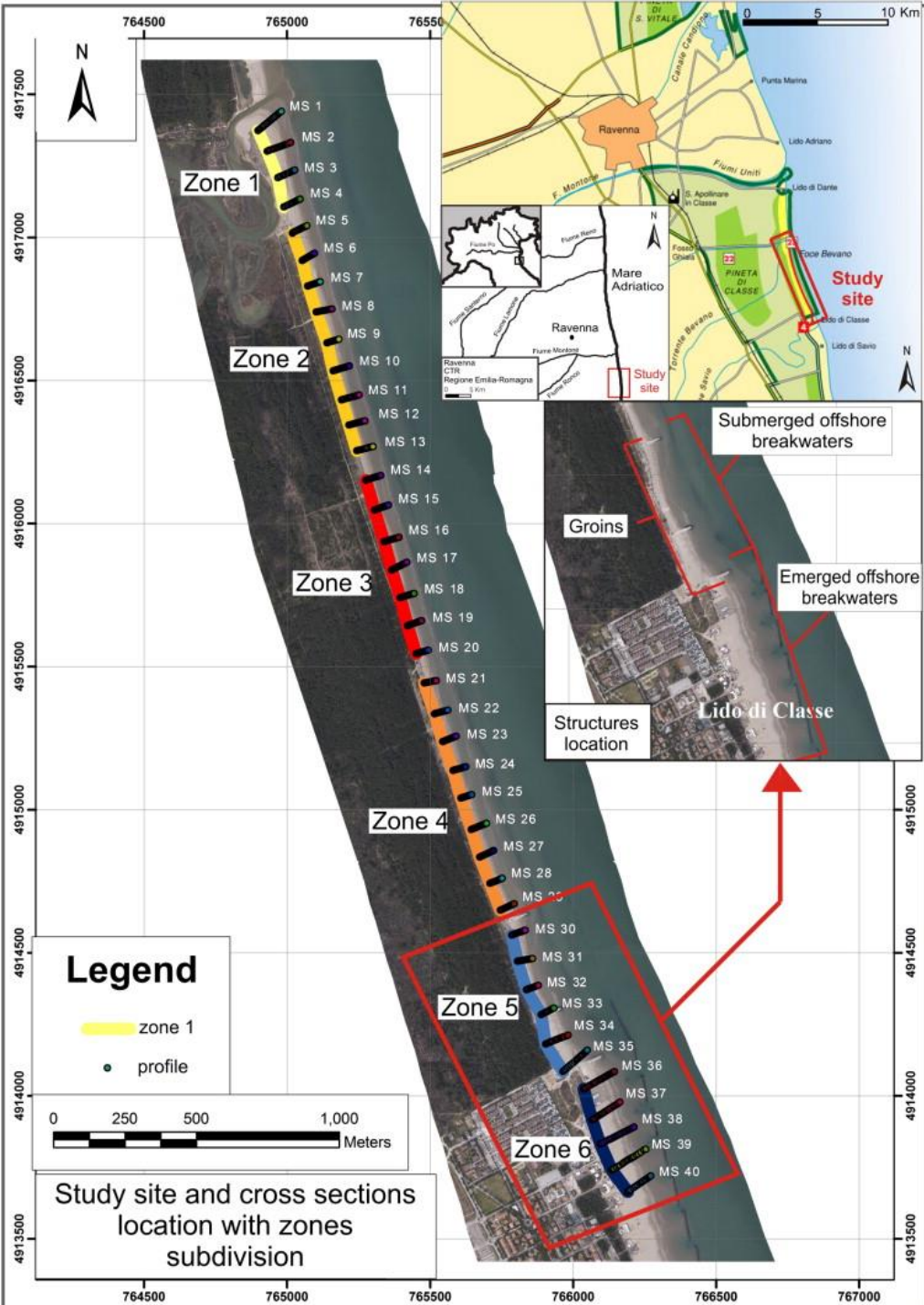
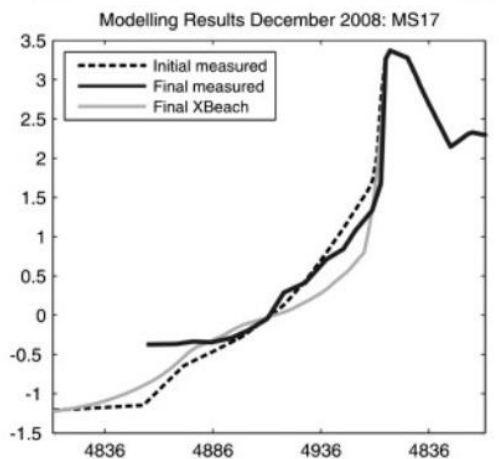
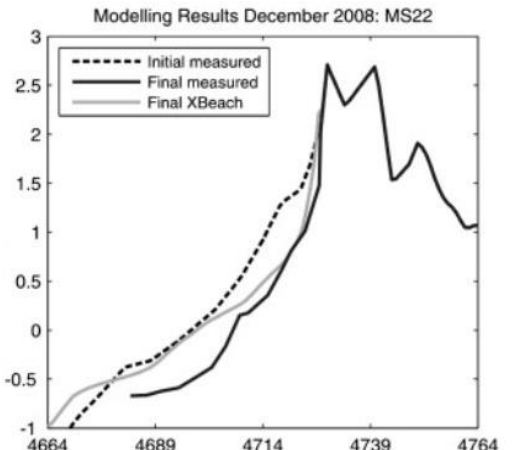
scale «small/large»

$$\approx [10^0; 10^3] \text{m} / \approx [10^0; 10^3] \text{d}$$



scale «small/large»

$$\approx [10^0; 10^3] \text{m} / \approx [10^0; 10^3] \text{d}$$



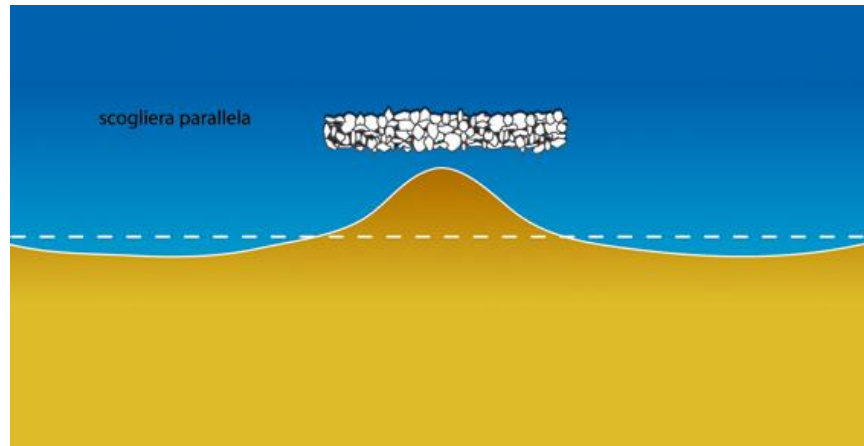
scale «small/large»

$\approx [10^0; 10^3] \text{m} / \approx [10^0; 10^3] \text{d}$



Interventi di mitigazione

Strutture Rigide → scogliere parallele

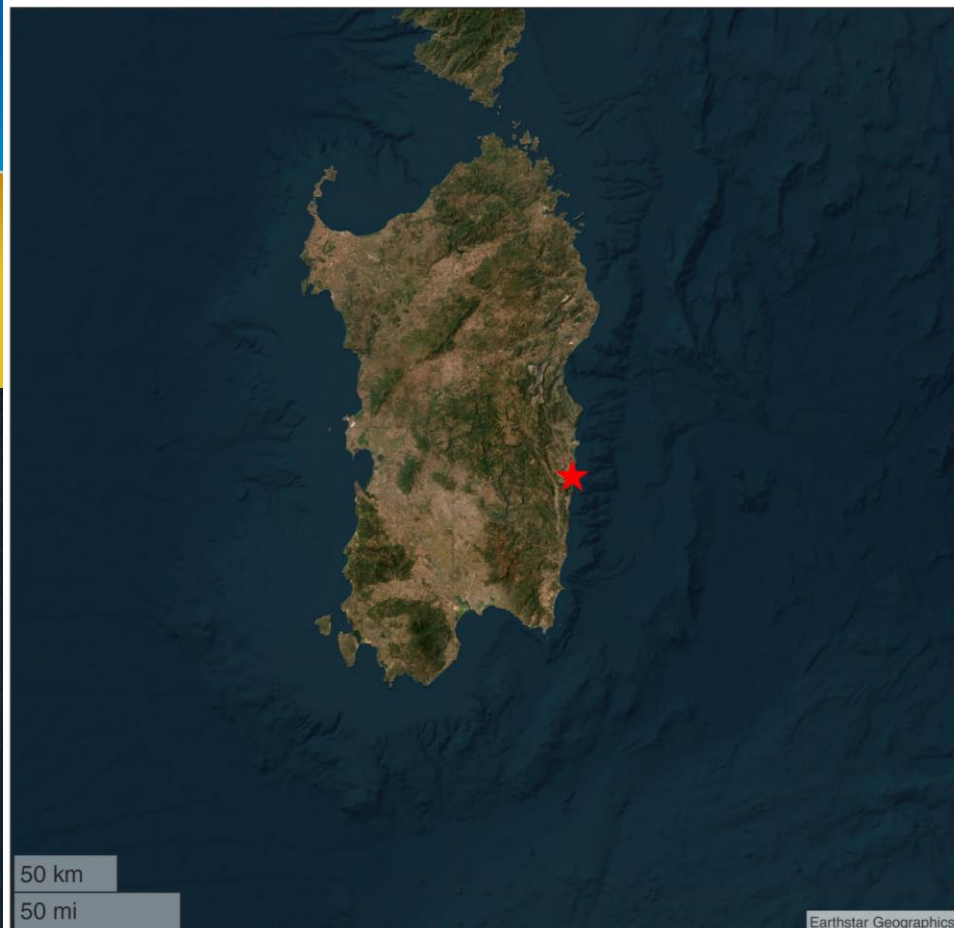
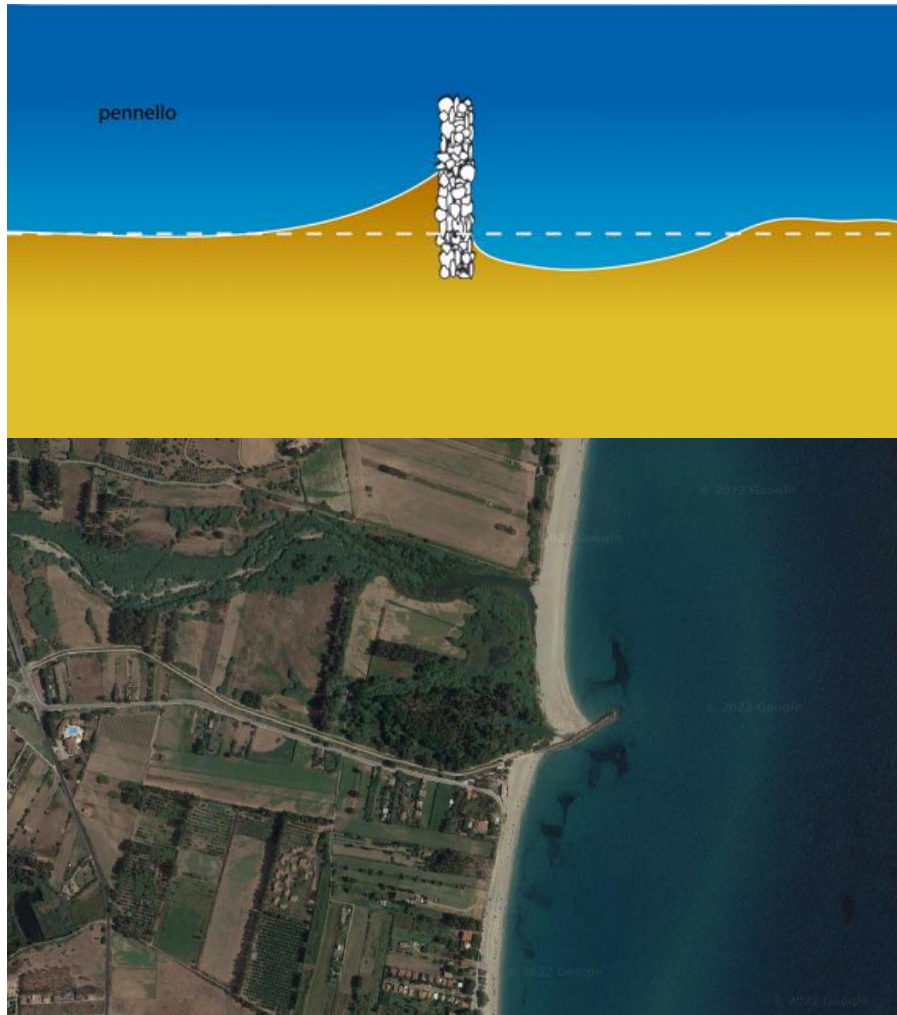


Chiavari,
Liguria

Interventi di mitigazione

Strutture Rigide → pennelli trasversali

Cardedu, Sardegna



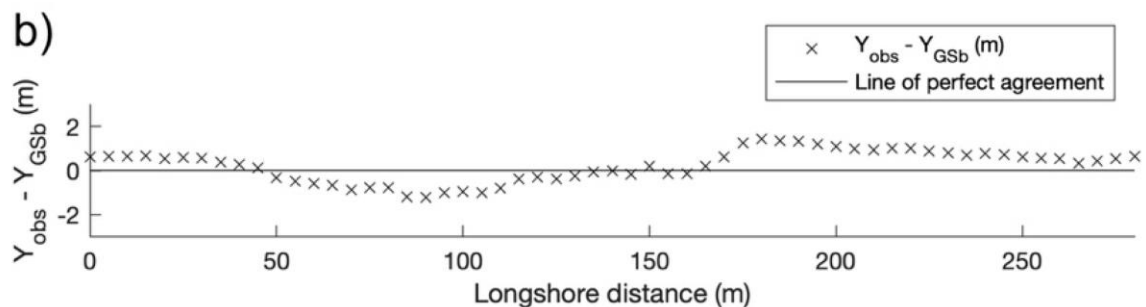
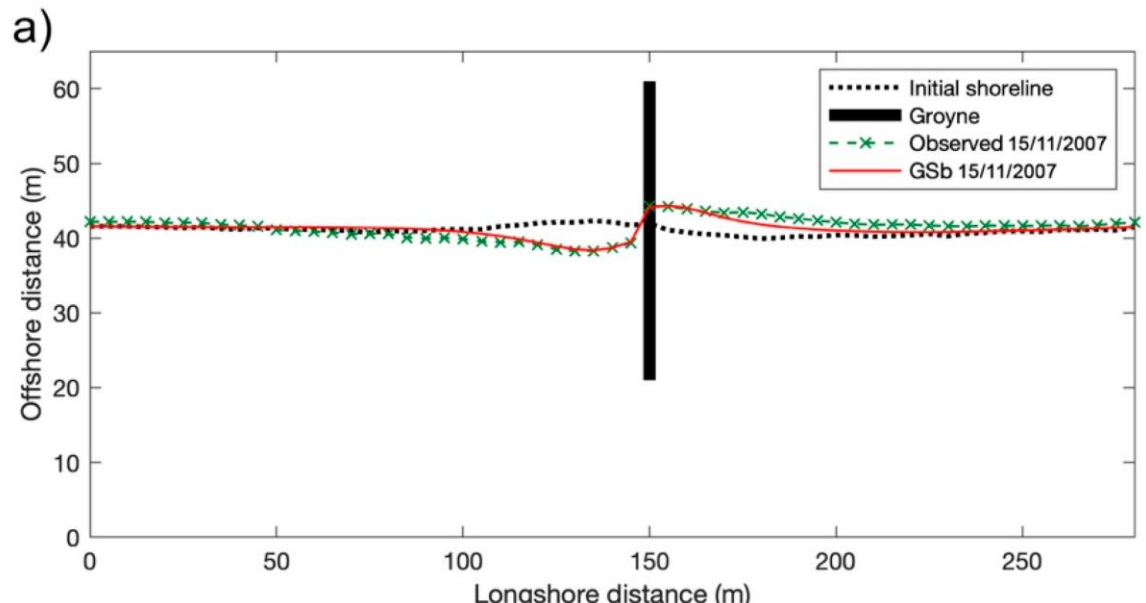
Interventi di mitigazione

Strutture Rigide → pennelli trasversali



(a)

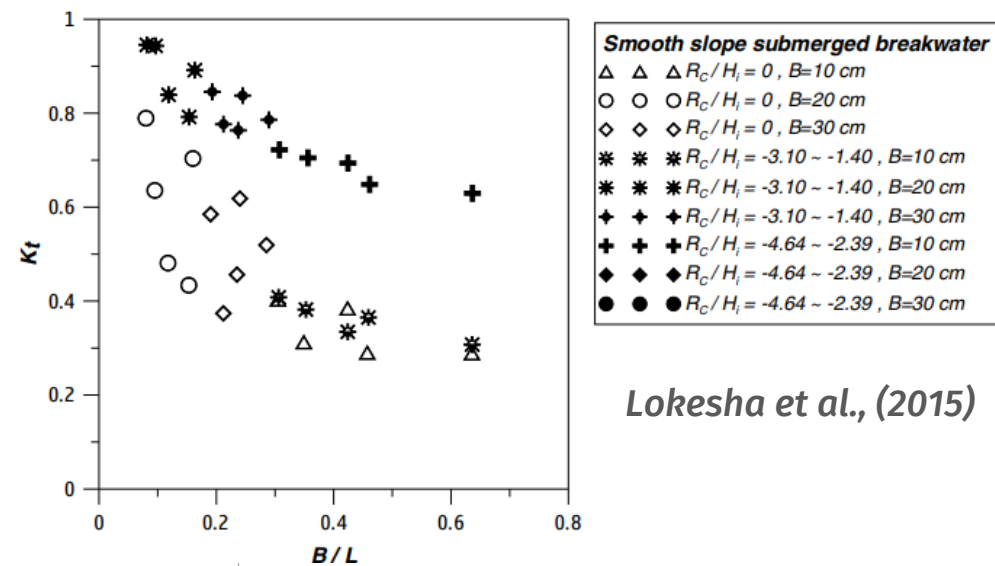
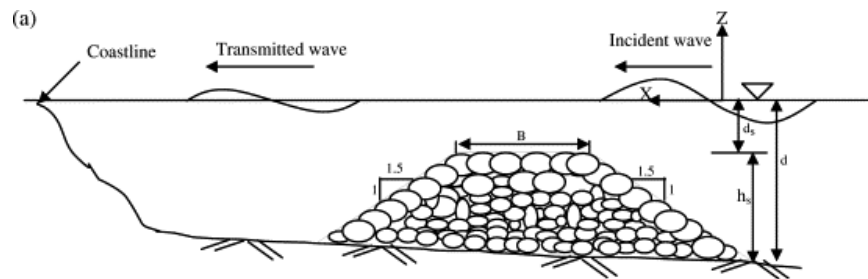
Tomasicchio et al., (2020)



Interventi di mitigazione

Strutture Rigide → dighe soffolte

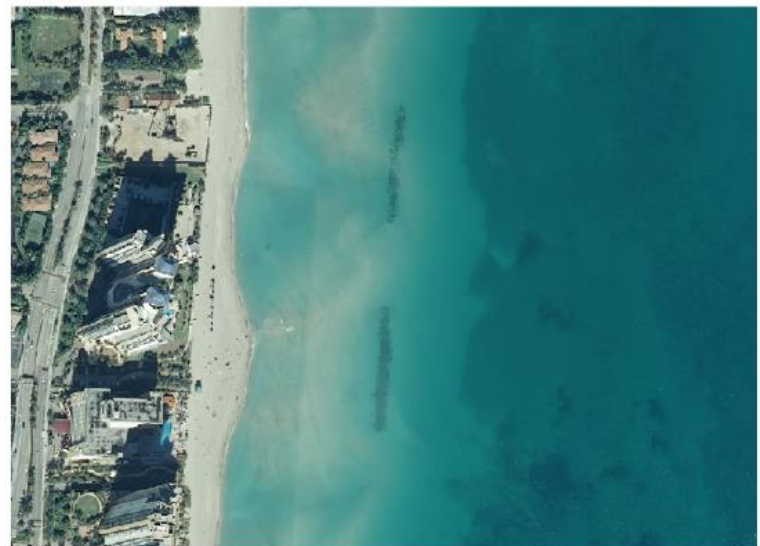
Rambabu & Mani (2005)



Lokesha et al., (2015)

Sunny Isles (FL)

U.S. Geological Survey



Interventi di mitigazione

Strutture Rigide → «NBS»



Interventi di mitigazione

Strutture Rigide → barriere aderenti («revetment»)



www.venturariver.org



©Evelyn Simak, CC BY-SA 2.0

Interventi di mitigazione

Soft Engineering → interventi di ripascimento



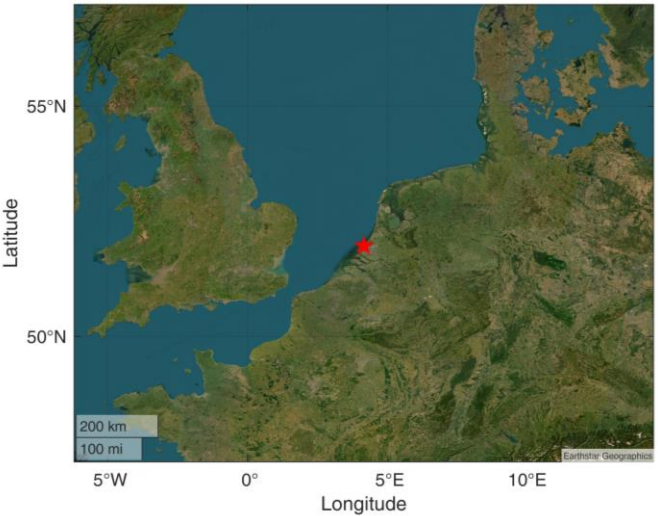
Laigueglia



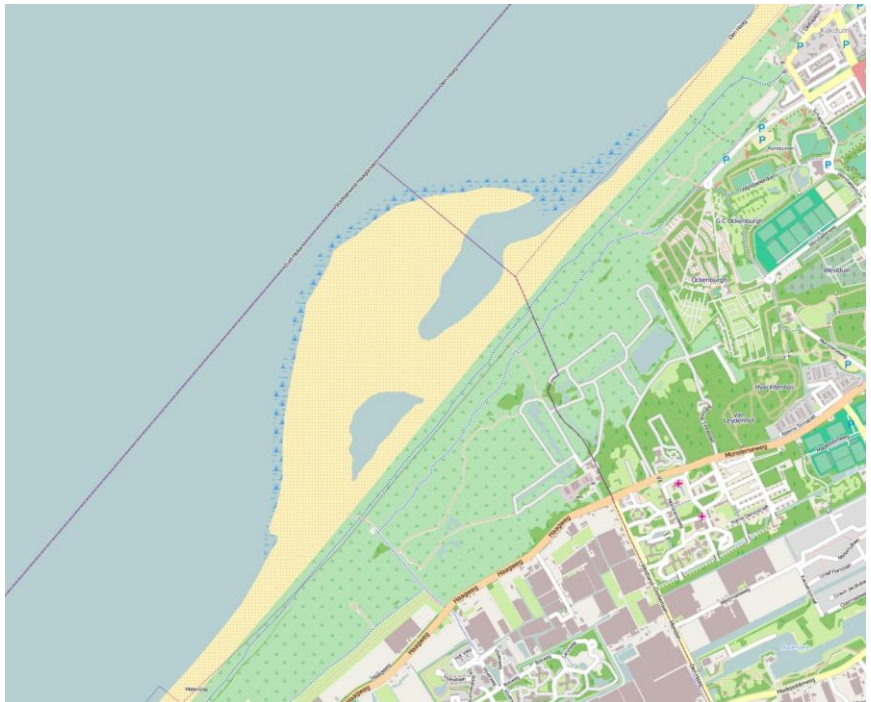
Sori

Interventi di mitigazione

Soft Engineering → sand engine (o sand motor)



Ter Heijde (NL)



UniGe

DICCA